

九州大学 大学院 学生員○菅原 稔  
 九州大学 工学部 正員 植 東一郎  
 九州大学 工学部 正員 小松 利光

## 1. まえがき

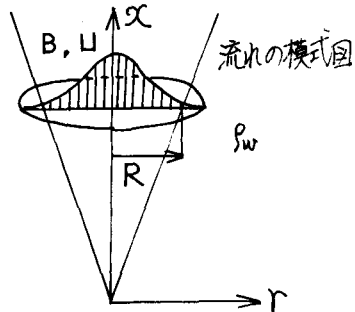
静止した一樣密度 $\rho_w$ の流体中に密度 $\rho_f$ の流体( $\rho_f < \rho_w$ )を断面積 $A_0$ の放出口より初期速度 $U_0$ で放出せしる鉛直上昇プルームの浮上拡散については Abraham, Priestley, 林らにより研究が行なわれ、確立領域について(はかなり)の程度明らかにされている。一方 Potential core の存在する形成領域については、浮力の効果により縮流などの複雑な挙動を示すにもかかわらず、簡単に幾何学的に処理されているにすぎない。今回我々は形成領域における理論解析を行い、確立領域における Priestley の解と接続することにより幅広い出口内部 Froude 数に対して良く成立する理論解を得たので報告する。

## 2. 理論的解析

(確立領域) 仮想原点を考え、拡がり幅の半径方向に軸、鉛直方向に Z 軸を考える。基礎式としては平均流速( $U, W$ )、その変動分( $u, w$ )、単位質量当りの浮力を  $B = g(\rho_w - \rho_f)/\rho_w$  とすると、次のようになる。

$$\frac{\partial}{\partial x}(rU) + \frac{\partial}{\partial r}(rW) = -\frac{\partial}{\partial r}(rwb) \quad (1)$$

$$\frac{\partial}{\partial x}(rU^2) + \frac{\partial}{\partial r}(rWU) = \frac{\partial}{\partial r}(r \cdot \frac{f}{\rho}) + rB \quad (運動方程式)$$



ここで、浮力、浮遊およびせん断力の分布に対する相似性を仮定する。図-1 (仮想原点)

$U = U_c f(\eta)$ ,  $B = B_c h(\eta)$ ,  $\frac{f}{\rho} = \frac{1}{2} U_c^2 j(\eta)$ ,  $\eta = r/R$  (3), ここに  $U_c, B_c$  は軸上の流速および浮力である。(3)式を用いて(1), (2)式を  $r=0 \sim \infty$  で積分すると、 $f = h = \exp(-0.5\eta^2)$  の分布形を用いることで簡単な形を取り(4), (5)式となる。

$$\frac{d}{dx}[R^2 U_c B_c] = 0 \quad (4) \quad , \quad \frac{d}{dx}[R^2 U_c^2] = 2B_c R^2 \quad (5)$$

また(2)式に  $U$  をかけて  $r=0 \sim \infty$  で積分すると平均流エネルギーの方程式として(6)式となる。

$$\frac{d}{dx}[R^2 U_c^3] = -CRU_c^3 + 3R^2 B_c U_c \quad (6) \quad \text{ここに}, \quad C = \int_0^\infty \eta j \frac{\partial f}{\partial \eta} / \int_0^\infty \eta f^3 d\eta$$

(6) × 2 - (5) ×  $U_c$  の操作により  $dP/dx = C$  (7) となり、仮想原点  $x=0$  で  $R=0$  であるから  $R=Cx$  (8) が得られる。(8)式を(6)式に代入すると  $U_c$  に関する

Bernoulli 型の微分方程式となり、Priestley や林らによって得られた  $U_c$  および  $B_c$  の解析解が得られる。

$$U_c = \left\{ \frac{3}{2} \frac{N_0}{\pi C^2} \frac{1}{x} + \frac{C_1}{x^3} \right\}^{1/3} \quad (9) \quad B_c = \frac{N_0}{\pi C^2} \frac{1}{x^2} \left\{ \frac{3}{2} \frac{N_0}{\pi C^2} \frac{1}{x} + \frac{C_1}{x^3} \right\}^{-1/3} \quad (10)$$

ここで  $N_0$  は浮力 flux で  $N_0 = A_0 U_0 B_0$  ( $B_0$  は放出口における浮力) で与え  $C_1$  は仮想原点での momentum flux  $M_0$  で表わされ、 $C_1 = C_1'/\pi C^2 \approx M_0^2$  (11) となる。C の値は Rouse らの実験結果より林と同様  $C=0.084$  を用いる。式(9), (10)を用いるにあたって実際の放出口と仮想原点の位置関係および  $M_0$  の評価が次の問題となる。

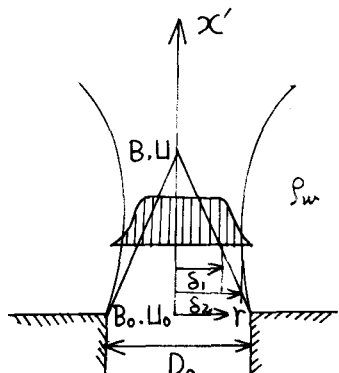


図-2 流れの模式図

(形成領域) 形成領域はcore部分と混合領域とからなる。  
core部も浮力の影響を受けて加速されるため流速は増加する。  
流速・浮力分布を次のように考える。core内では $r$ 方向に一定で混合領域内で相似性を仮定する。

$$\text{流速分布} \quad (i) 0 \leq r \leq s_1; U = U_c, (ii) s_1 \leq r; U = U_c f(\eta') \quad (12)$$

$$\text{浮力分布} \quad (i) 0 \leq r \leq s_1; B = B_0 (\text{const}), (ii) s_1 \leq r; B = B_0 f(\eta') \quad (13)$$

$$\text{ここに } \eta' = (r - s_1) / (s_2 - s_1) = (r - s_1) / R' \quad \text{式(1), (2)}$$

$$(3) を  $r = 0 \sim \infty$  で積分すると  $f = h = \exp(-0.5\eta'^2)$  とおいて$$

次のようになる。

$$\frac{d}{dx} [U_c (s_1^2 + \sqrt{\pi} s_1 R' + R'^2)] = 0 \quad (13) \quad \frac{dU_c}{dx} = \frac{\pi B_0^2}{N_0} (s_1^2 + \sqrt{\pi} s_1 R' + 2R'^2) \quad (14)$$

$$\frac{d}{dx} [U_c^3 (\frac{3}{2} s_1^2 + \frac{\sqrt{3}}{2} \pi s_1 R' + R'^3)] = -(dS_1 + CR') + B_0 U_c (3s_1^2 + 2\sqrt{\pi} s_1 R' + 3R'^2) \quad (15)$$

$$ここで \alpha = \int_0^\infty \frac{df}{d\eta'} d\eta' / \int_0^\infty \eta'^3 d\eta'.$$

式(13)～(15)で  $U_c, s_1, R'$  を  $U_0, D_0$  (放出口の直径) で無次元化すると(13)～(15)式は  $\bar{U} = U_c/U_0, \Delta_1 = s_1/D_0$

$R' = R'/D_0$  を規定する式となりパラメータとして  $Fr = U_0/\sqrt{B_0 D_0}$  を含む。 $Fr = \infty$  の homogeneous jet の場合に  $\xi' = x/D_0 = 5.0$  で potential core が消失する (Albertson の実験) という条件より  $\alpha = 0.02$  が得られる。 $\xi' = 0$  で  $\Delta_1 = 0.5$ ,

$R = 0, \bar{U}_c = 1.0$  の境界条件を用いて式(13)～(15)を数値計算することで、任意の Froude 数に対する core 消失点での  $\xi'_p, \bar{U}_p, R_p$  が求められる。 $\xi_p = \xi'_p$  で確立領域の噴流特性量表示式(4)～(6)に接続させねばならない。実際の放出口と仮想原点までの距離をとると仮想原点から  $\xi_p$  までの距離は  $R = C\xi_p$  より  $\xi_p = R_p/C$  であるから  $\xi_c = \xi_p - \xi'_p$  (16) より求められる。

また、仮想原点における momentum flux  $M_0$  と実際の放出口における momentum flux  $M_{00} = A_0 U_0 \xi_p$  との比  $M_0/M_{00}$  も  $\xi_p$  での  $\bar{U} = \bar{U}_p$  の条件から式(9)を用いて求められる。得られた結果を図-3, 図-4に放出口の内部 Froude 数  $Fr$  に対して示す。

$Fr > 0$  以上では momentum flux  $M_0$  が卓越して  $\xi_c, M_0/M_{00}$  はともにほぼ一定であるが、 $Fr < 20$  では浮力のため、縮流などを生じて流れは大きく変形している。特に  $Fr < 0.57$  では ( $M_0/M_{00} = 0$  となり) 確立領域では浮力の卓越した pure plume となれる。以上求めた  $\xi_c, M_0/M_{00}$  を用いて得られた理論値と著者らや Abraham の実験値と比較するのが図-5である。Froude 数の小さな pure plume の場合理論値と著者らの実験値を比較するのが図-6である。確立領域では式(9), (10)を  $M_0, N_0$  を用いて無次元化するとパラメータ  $\alpha$  が消えて理論解が一つの曲線で表わされる。理論値と実験値の差は非常に小さく、理論の展開上  $Fr$  にはせんら制限をも加えてはいながら、实用上の意義をたいへん大きいと思われる。

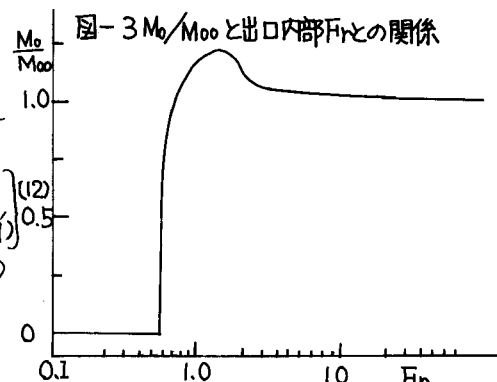


図-3  $M_0/M_{00}$  と出口内部  $Fr$  の関係

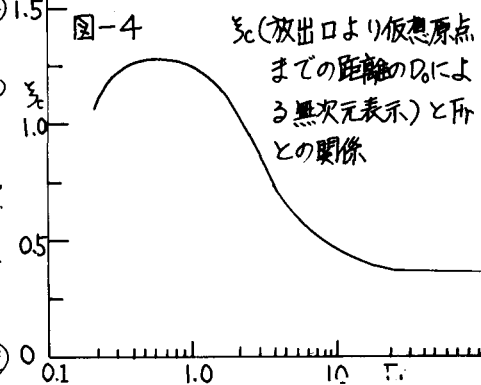


図-4  $\xi_c$  (放出口より仮想原点までの距離の  $D_0$  による無次元表示) と  $Fr$  との関係

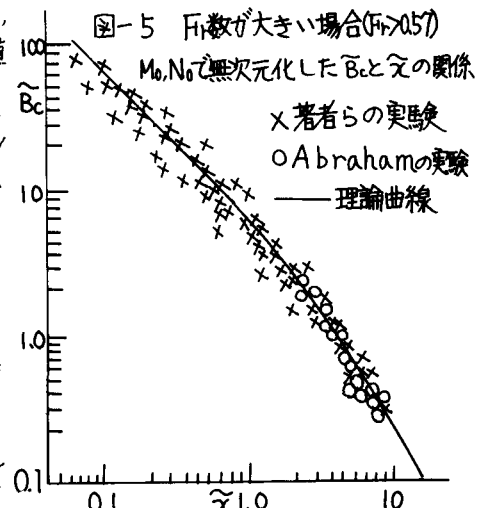


図-5  $Fr$  数が大きい場合 ( $Fr > 0.5$ )

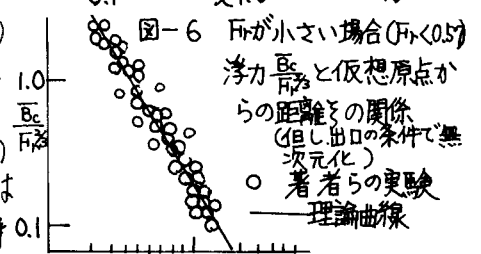


図-6  $Fr$  が小さい場合 ( $Fr < 0.5$ )